

УДК 624.011.1:620.17

*Б.В. Лабудин, Р.П. Матвеев, Р.С. Санжаровский***УСТОЙЧИВОСТЬ СЖАТО-ИЗОГНУТЫХ СТЕРЖНЕЙ,
УСИЛЕННЫХ ТИТАНОВЫМИ ЭЛЕМЕНТАМИ**

Рассмотрена проблема повышения прочности и устойчивости сжато-изогнутых стержней, усиленных титановыми элементами.

Ключевые слова: прочность и устойчивость стержней, титановые элементы, деревянные конструкции.

Методы расчета узлов и соединений деревянных конструкций, применяемых в строительстве, с использованием строительной механики стержневых систем могут быть применены при их усилении. С целью повышения прочности, жесткости и устойчивости этих конструкций, работающих на сжатие с изгибом, нами были проведены экспериментально-теоретические исследования. Их выполняли на трубчатых образцах и фрагментах из древесины.

В ряде работ, посвященных анизотропным свойствам конструкционных материалов, костный материал как природный композит рассматривается с учетом анизотропии прочностных и упругих свойств [1].

В построение методики расчета составных элементов положены основные гипотезы механики твердых деформируемых тел, гипотезы плоских сечений и линеаризации между соответствующими перемещениями и деформациями элементов биомеханической системы [2, 4].

Применение этих гипотез позволяет построить простую и физически ясную математическую модель для расчета устойчивости элементов как при кратковременных, так и при длительных статических или динамических нагрузках с учетом их упругодеформируемого соединения [3, 5].

Примем, что элемент имеет трубчатое или сплошное строение с неизменным по длине сечением, искривлен и внецентренно закреплен. Тогда эти параметры учтем усреднением поперечного сечения, а искривление – введением эксцентриситетов.

Общую длину стержня делим на $(m + 1)$ равных частей длиной s (рис. 1). Уравнение изогнутой оси стержня заменим интерполирующей функцией, которую используем для вычисления кривизны в точках деления. Значения функции в точках деления совпадают с ординатами действительной кривой $y_0, y_1, \dots, y_j, y_m, y_{m+1}$. Так, с помощью интерполяционной формулы Лагранжа запишем вторые производные по пяти точкам. Они дают приближенные выражения кривизны [5]:

$$\left. \frac{\partial^2 y}{\partial x^2} \right|_j = \frac{l}{24s^2} \left(C_{j-2} y_{j-2} + C_{j-1} y_{j-1} + C_j y_j + C_{j+1} y_{j+1} + C_{j+2} y_{j+2} \right); j = 0, \dots, m + 1. \quad (1)$$

Кривизну κ выразим также через краевые деформации сечения:

$$\kappa = (\varepsilon_{1i} + \varepsilon_{2i}) / h, \quad (2)$$

где ε_{1i} и ε_{2i} – краевые деформации;

h – наибольший размер поперечного сечения в плоскости изгиба.

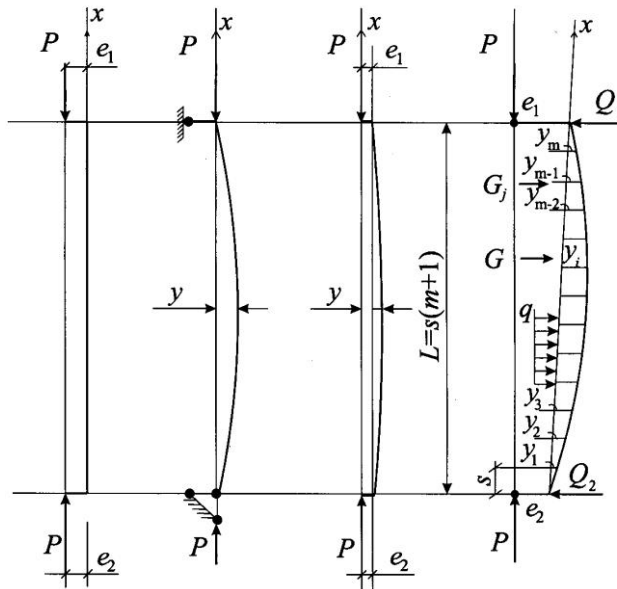


Рис. 1. Выбор расчетной схемы сжато-изогнутого стержня с шарнирным закреплением концов

Подставив правые части (1) и (2), получим:

$$\frac{(\varepsilon_{1i} + \varepsilon_{2i})}{h} = \frac{l}{24s^2} (C_{j-2}y_{j-2} + C_{j-1}y_{j-1} + C_j y_j + C_{j+1}y_{j+1} + C_{j+2}y_{j+2}) \quad (3)$$

Примем, что распределение напряжений в поперечных сечениях сжато-изогнутого стержня определяется зависимостью σ – ε , соответствующей диаграмме сжатия короткого стержня (образца), а также, что ось нулевых деформаций совмещается с осью нулевых напряжений.

Опытные диаграммы осевого сжатия σ – ε композитного (костного) элемента и титанового аппарата (далее Ti) в общем случае аппроксимируются полиномами вида

$$\sigma(\varepsilon) = \sum a_m \varepsilon^{n-m} \quad (4)$$

Соответствие выражения (4) эксперименту приводят через метод наименьших квадратов, апробированный в решении многих задач.

Если титан и костный материал имеют явно выраженные площадки текучести, то полином (4) представляется диаграммой σ – ε до начала площадки текучести. Отсюда следуют и другие частные зависимости, например уравнение, приведенное в [2]:

$$\sigma = C\varepsilon^m (1 \pm a\varepsilon) \quad (5)$$

Главный вектор и главный момент эпюры нормальных напряжений наиболее нагруженного (среднего) сечения определим из известного соотношения внутренних усилий:

$$P_{вн} = \int_F \sigma dF; \quad M_{вн} = \int_F \sigma z dF, \quad (6)$$

где z – расстояние от рассматриваемого волокна до центра тяжести сечения (рис. 2).

Выделим разрушенный (сломанный) костный элемент, который усилен специальным элементом из титана, установленным с наружной стороны. Трубчатый элемент кости условно заменим эквивалентным сплошным, а титановый элемент – эквивалентной тонкой оболочкой.

В качестве текущей координаты примем центральный угол α , элементарные площади выразим через текущую координату: для композита

$$dF_k = 2R^2 \sin^2 \alpha \cdot d\alpha ;$$

для титана

$$dF_{Ti} = 2Rt \cdot d\alpha , \tag{7}$$

где R – радиус наружной поверхности;
 t – толщина оболочки.

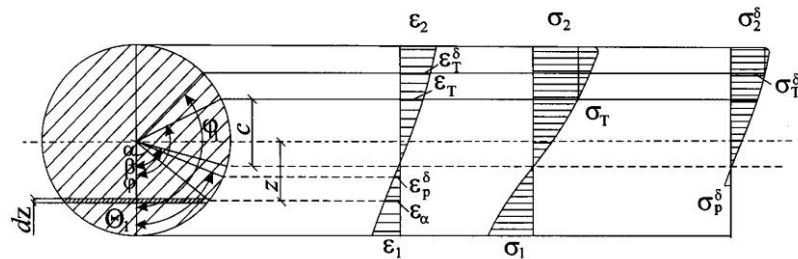


Рис. 2. Эпюры распределения напряжений и деформаций по поперечному сечению комплексного элемента

Рассмотрим оболочку, толщина которой является достаточно малой в сравнении с ее диаметром. По эпюрам, приведенным на рис. 2, запишем выражение для деформации произвольно волокна оболочки из Ti:

$$\epsilon_\alpha = \epsilon_{Ti} \frac{\cos\beta - \cos\alpha}{\cos\beta - \cos\varphi} , \tag{8}$$

где ϵ_{Ti} – деформация текучести титана;
 β – центральный угол, характеризующий положение нейтральной оси;
 φ – центральный угол, характеризующий положение волокна, имеющего деформацию ϵ_{Ti} в сжатой зоне.

Для случая двусторонней текучести имеем [4]:
 главный вектор

$$\begin{aligned} P_{вн} = & 2Rt \sum_{m=0}^n a_m \frac{\epsilon_{Ti}^{n-m}}{(\cos\beta - \cos\varphi)^{n-m}} \int_0^\varphi (\cos\beta - \cos\alpha)^{n-m} d\alpha + 2Rt\sigma_{Ti}(\pi - \varphi) + \\ & + 2R \sum_{m=0}^{m=i} a_{1m} \frac{\epsilon_{тк}^{i-m}}{(\cos\beta - \cos\varphi_1)^{i-m}} \int_\beta^{\varphi_1} (\cos\beta - \cos\alpha)^{i-m} \sin\alpha \cdot d\alpha + \\ & + 2R^2 \sum_{m=0}^k a_{2m} \frac{\epsilon_{тк}^{k-m}}{(\cos\beta - \cos\varphi_1)^{k-m}} \int_\theta^\beta (\cos\beta - \cos\alpha)^{k-m} \sin^2 \alpha \cdot d\alpha + \\ & + \sigma_{тк} R^2 (\pi - \varphi_1 + \sin\varphi_1 \cos\varphi_1) \cdot 2Rt\sigma_{Ti}\theta; \end{aligned} \tag{9}$$

момент поперечной нагрузки

10*

$$\begin{aligned}
M_{\text{вн}} = & 2R^2 t \sum_{m=0}^n a_m \frac{\varepsilon_{\text{Тi}}^{n-m}}{\cos \beta - \cos \varphi} \int_{\theta}^{\varphi} (\cos \beta - \cos \alpha)^{n-m} \cos \alpha \, d\alpha + \\
& + 2R^2 t \sigma_{\text{Тi}} \sin \varphi + 2R^2 \sigma_{\text{Тi}} \sin \theta + 2R^3 \sum_{m=0}^i a_{1m} \frac{\varepsilon_{\text{ТК}}^{i-m}}{\cos \beta - \cos \varphi_1} \times \int_{\beta}^{\varphi_1} (\cos \beta - \cos \alpha)^{i-m} \times \\
& \times \cos \alpha \sin^2 \alpha \cdot d\alpha + 2R^3 \sum_{m=0}^k a_{2m} \frac{\varepsilon_{\text{ТК}}^{k-m}}{\cos \beta - \cos \varphi_1} \int_{\theta}^{\beta} (\cos \beta - \cos \alpha)^{k-m} \times \\
& \times \cos \alpha \sin^2 \alpha \cdot d\alpha + \frac{2}{3} \sigma_{\text{ТК}} R^3 \sin^3 \varphi_1,
\end{aligned} \quad (10)$$

где $\varepsilon_{\text{ТК}}$ – деформация текучести композитного материала сжатой зоны;

$\varepsilon_{\text{рК}}$ – деформация предельного растяжения композитного материала;

φ_1 – центральный угол, соответствующий положению волокон с деформацией $\varepsilon_{\text{ТК}}$;

θ_1 – центральный угол, соответствующий положению волокон с деформацией $\varepsilon_{\text{рК}}$.

Далее составим уравнения равновесия деформированного состояния части стержня, отделенной любым сечением:

$$P - P_{\text{вн}}^j \left(\beta_j, \varphi_j, \varphi_{1j}, \theta_j, \theta_{1j} \right) \left[1 + \frac{1}{2} \left(\beta_j' \right)^2 \right] + G_j - Q_{\text{оп}} y_j' = 0; \quad (11)$$

$$P(e - y_i) + M_G^j - M_{\text{вн}}^j \left(\beta_j, \varphi_j, \varphi_{1j}, \theta_j, \theta_{1j} \right) = 0, \quad (12)$$

где G_j и M_G^j – главные вектор и момент поперечной нагрузки;

e – эксцентриситет приложения силы P , $e = \frac{e_1 + e_2}{2}$;

$Q_{\text{оп}}$ – опорная реакция Q_1 или Q_2 .

Главный вектор $P_{\text{вн}}^j \left(\beta_j, \varphi_j, \varphi_{1j}, \theta_j, \theta_{1j} \right)$ и момент

$M_{\text{вн}}^j \left(\beta_j, \varphi_j, \varphi_{1j}, \theta_j, \theta_{1j} \right)$ найдем из выражений (9), (10).

Центральные углы $\beta_j, \dots, \theta_{1j}$ с помощью гипотезы плоских сечений выразим через краевые деформации сечений ε_{1j} и ε_{2j} . Производную от прогиба y по координате x запишем с помощью интерполяционного многочлена по пяти точкам:

$$y' = a(s) [a_{j-2} y_{j-2} + a_{j-1} y_{j-1} + a_j y_j + a_{j+1} y_{j+1} + a_{j+2} y_{j+2}]. \quad (13)$$

Полагаем, что внешняя нагрузка возрастает во времени по известным законам $P(t)$ и $G(t)$, причем, если $t = 0$, то стержень работает упруго. Тогда можно проследить процесс изменения напряженно-деформированного состояния элемента. Дифференцируя его по времени, получаем:

$$\frac{(\dot{\varepsilon}_{1j} + \dot{\varepsilon}_{2j})}{h} = \frac{l}{24s^2} \left[C_{j-2} \dot{y}_{j-2} + C_{j-1} \dot{y}_{j-1} + C_j \dot{y}_j + C_{j+1} \dot{y}_{j+1} + C_{j+2} \dot{y}_{j+2} \right];$$

$$\dot{P} - \left(\frac{\partial P_{\text{вн}}^j}{\partial \varepsilon_{1j}} \dot{\varepsilon}_{1j} + \frac{\partial P_{\text{вн}}^j}{\partial \varepsilon_{2j}} \dot{\varepsilon}_{2j} \right) \left[1 + \frac{1}{2} \mathcal{C}'_j \right] - P_{\text{вн}}^j \dot{y}_j y_j + (\dot{G}_j - Q_{\text{оп}}) \dot{y}_j = 0; \quad (14)$$

$$\dot{y}'_j = a(s) [a_{j-2} \dot{y}_{j-2} + a_{j-1} \dot{y}_{j-1} + a_j \dot{y}_j + a_{j+1} \dot{y}_{j+1} + a_{j+2} \dot{y}_{j+2}],$$

$$\text{где } \frac{\partial P_{\text{вн}}^j}{\partial \varepsilon_{1j}} = \frac{\partial P_{\text{вн}}^j \cdot \partial \beta_j}{\partial \beta_j \cdot \partial \varepsilon_{1j}} + \dots + \frac{\partial P_{\text{вн}}^j \cdot \partial \theta_{1j}}{\partial \theta_{1j} \cdot \partial \varepsilon_{1j}}.$$

Эта система дифференцируемых уравнений легко сводится к нормальной форме Коши:

$$\dot{y}_j = \frac{\Delta y_j}{\Delta}; \quad \dot{\varepsilon}_{1j} = \frac{\Delta \varepsilon_{1j}}{\Delta}; \quad \dot{\varepsilon}_{2j} = \frac{\Delta \varepsilon_{2j}}{\Delta}, \quad (15)$$

где Δ , Δy_j , $\Delta \varepsilon_{1j}$, $\Delta \varepsilon_{2j}$ – определители системы.

Для нахождения условия, в котором система приходит в критическое состояние, рассмотрим отклонение стержня от состояния равновесия. Для чего системе уравнений запишем в следующем виде:

$$\frac{(\delta \varepsilon_{1j} + \delta \varepsilon_{2j})}{h} = \frac{l}{24s^2} \mathcal{C}_{j-2} \delta y_{j-2} + C_{j-1} \delta y_{j-1} + C_j \delta y_j + C_{j+1} \delta y_{j+1} + C_{j+2} \delta y_{j+2} - \delta P_{\text{вн}}^j \left[1 + \frac{1}{2} \mathcal{C}'_j \right] - P_{\text{вн}}^j y'_j + (G_j - Q_{\text{оп}}) \delta y'_j = 0;$$

$$P \delta y_j - \delta M_{\text{вн}}^j = 0 \quad (16)$$

$$\delta y'_j = a(s) [a_{j-2} \delta y_{j-2} + a_{j-1} \delta y_{j-1} + a_j \delta y_j + a_{j+1} \delta y_{j+1} + a_{j+2} \delta y_{j+2}],$$

$$\text{где } \frac{\partial P_{\text{вн}}^j}{\partial \varepsilon_{1j}} \delta \varepsilon_{1j} + \frac{\partial P_{\text{вн}}^j}{\partial \varepsilon_{2j}} \delta \varepsilon_{2j} = \delta P_{\text{вн}}^j;$$

$$\frac{\partial P_{\text{вн}}^j}{\partial \varepsilon_{1j}} = \frac{\partial P_{\text{вн}}^j \cdot \partial \beta_j}{\partial \beta_j \cdot \partial \varepsilon_{1j}} + \dots + \frac{\partial P_{\text{вн}}^j \cdot \partial \theta_{1j}}{\partial \theta_{1j} \cdot \partial \varepsilon_{1j}}.$$

Далее определитель системы уравнений (16) необходимо приравнять к 0, чтобы получить критическое состояние конструкции. Рассмотренный метод решения задачи упругопластической устойчивости и запись (15) в форме Коши удобна для численной реализации с использованием стандартных программ ЭВМ.

Численные эксперименты показали, что решение задачи Коши для системы (15) с одновременным вычислением определителя системы (16) намного эффективнее задачи с вычислением системы нелинейных алгебраических уравнений так как итерационный процесс расходится вблизи критического состояния.

Предложенный метод удобен для исследования закритического поведения сжатых стержней в упругопластической стадии.

СПИСОК ЛИТЕРАТУРЫ

1. Ашкенази, Е.К. Анизотропия древесины и древесных материалов [Текст] / Е.К. Ашкенази. – М.: Лесн. пром-сть, 1978. – 224 с.
2. Лукаш, П.А. Основы нелинейной строительной механики [Текст] / П.А. Лукаш. – М., 1978. – 208 с.

3. Качанов, Л.М. Основы теории пластичности [Текст] / Л.М. Качанов. – М., 1956. – 324 с.

4. Работнов, Ю.Н. Механика деформируемого твердого тела [Текст] / Ю.Н. Работнов. – М.: Наука, 1988. – 712 с.

5. Санжаровский, Р.С. Устойчивость элементов строительных конструкций при ползучести [Текст] / Р.С. Санжаровский. – Л.: Изд-во ЛГУ, 1978. – 280 с.

Архангельский государственный
технический университет

Северный государственный
медицинский университет

С.-Петербургской государственный
архитектурно-строительный университет

Поступила 12.05.06

B.V. Labudin, R.P. Matveev, R.S. Sanzharovsky

Stability of Close-bent Rods Reinforced by Titanic Elements

The problem of enhancing strength and stability of close-bent rods reinforced by titanic elements is considered.
